## 酸化剤を変えた ALD-Al<sub>2</sub>O<sub>3</sub> 膜の MOS キャパシタ特性評価

Electrical Measurements of ALD-Al<sub>2</sub>O<sub>3</sub> MOS Capacitors with Different Oxidants 東工大フロンティア研 <sup>1</sup>, 東工大総理工 <sup>2</sup>, <sup>°</sup> 福井僚 <sup>1</sup>, 中村嘉基 <sup>1</sup>, 角嶋邦之 <sup>2</sup>, 片岡 好則 <sup>2</sup>, 西山彰 <sup>2</sup>, 若林整 <sup>2</sup>, 杉井信之 <sup>2</sup>, 筒井一生 <sup>2</sup>, 名取研二 <sup>1</sup>, 岩井洋 <sup>1</sup>

Tokyo Tech. FRC <sup>1</sup>, Tokyo Tech. IGSSE <sup>2</sup>, °R. Fukui <sup>1</sup>, Y. Nakamura <sup>1</sup> K. Kakushima <sup>2</sup>,

Y. Kataoka<sup>2</sup>, A. Nishiyama<sup>2</sup>, H. Wakabayashi<sup>2</sup>, N. Sugii<sup>2</sup>, K. Tsutsui<sup>2</sup>, K. Natori<sup>1</sup>, H. Iwai<sup>1</sup>

E-mail: fukui.r.aa@m.titech.ac.jp

【背景】 高誘電体(High-k)薄膜をゲート絶縁膜として用いた Si-MOS キャパシタは閾値が固定電荷( $Q_f$ )だけではなく、High-k/SiO<sub>2</sub> 界面に形成される界面ダイポールによっても変動するという報告があり[1]、 $Q_f$  および界面ダイポールは、プロセスによって大きく依存すると考えられる。本研究では原子層堆積法(ALD)によって  $Al_2O_3$  を成膜する際の酸化剤を  $H_2O$ 、 $O_2$  プラズマおよび  $O_3$  と変え、 $Q_f$  と界面ダイポールを Si MOS キャパシタのフラットバンド電圧( $V_{fb}$ )の変化から抽出したので報告する。また、比較のために電子線蒸着(EB)で成膜した  $Al_2O_3$  膜も評価した。

【実験】熱酸化膜が 7.3nm 形成された  $SiO_2/n$ -Si(100) 基板を、硫酸過水(SPM)洗浄後に、EB、あるいは  $300^{\circ}$  の ALD によって  $Al_2O_3$  膜を 5nm から 15nm 程度堆積した。その後 RF スパッタリング法により膜厚 50 nm の W 電極を形成し、パターニングしてゲート電極とした。基板裏面の Al コンタクトを形成後、フォーミングガス  $(H_2:N_2=3\%:97\%)$ 雰囲気で  $420^{\circ}$ C の熱処理を施し、電気特性を評価した。

【結果】Fig 1 に作製した MOS キャパシタの構造を示す。これらの構造の MOS キャパシタの C-V 特性の結果から、等価酸化膜圧(EOT)と Vfb を算出し、プロットした結果を Fig 2 に示す。Fig 2 から Al2O3 を堆積することにより Vfb が正の方向にシフトしていることを確認した。さらに Fig 2 に示した近似曲線の傾きから算出した固定電荷密度と、IL(EOT=7.3nm)との切片から算出したダイポールを Table 1 に示す。これより成膜プロセスの違いによって固定電荷密度もダイポールも変化することが確認でき、Al2O3 を堆積する際には、酸素供給源として H2O を用いた ALD が、最も固定電荷密度が小さく、ダイポールが大きいという結果になった。

【結論】 W//SiO<sub>2</sub>/n-Si と W/Al<sub>2</sub>O<sub>3</sub>/SiO<sub>2</sub>/n-Si 構造の MOS キャパシタの比較から Al<sub>2</sub>O<sub>3</sub> を堆積することによって  $V_{th}$  が正にシフトすることを確認した。さらに成膜プロセスを変えることによって、固定電荷密度もダイポールも異なるという結果になった。

[1] K. Kita, et al., Appl. Phys. Lett., 94, 132902 (2009).

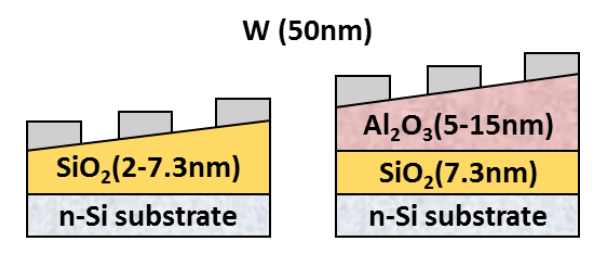


Fig. 1 Schematic illustrations of fabricated MOS capacitors

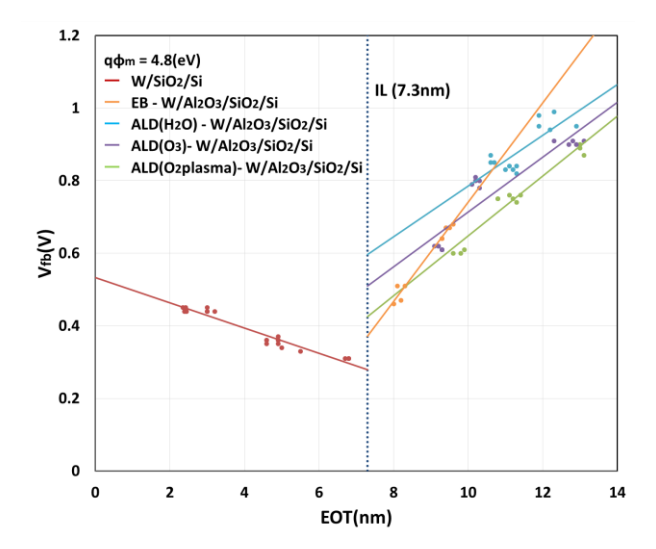


Fig. 2 V<sub>fb</sub>–EOT plots obtained from the analysis of C-V curves for W/SiO2/n-Si and W/Al2O3/SiO2/n-Si capacitor deposited by EB and ALD with O2 plasma, H2O and O3.

Table 1 Comparison of Qf and dipole at the Al<sub>2</sub>O<sub>3</sub>/SiO<sub>2</sub> interfaces deposited by EB and ALD with O<sub>2</sub> plasma, H<sub>2</sub>O and O<sub>3</sub>

	EB	H₂O	O <sub>3</sub>	O <sub>2</sub> plasma
Q <sub>f</sub> (cm <sup>-2</sup> )	-2.53 × 10 <sup>12</sup>	-9.78 × 10 <sup>11</sup>	-1.1 × 10 <sup>12</sup>	-1.27 × 10 <sup>12</sup>
$\Delta_{\text{dipole}}(V)$	0.066	0.29	0.2	0.12